

# **Analyse du séisme du 23 juin 2020 à 06h25 UTC de MI 3.8**

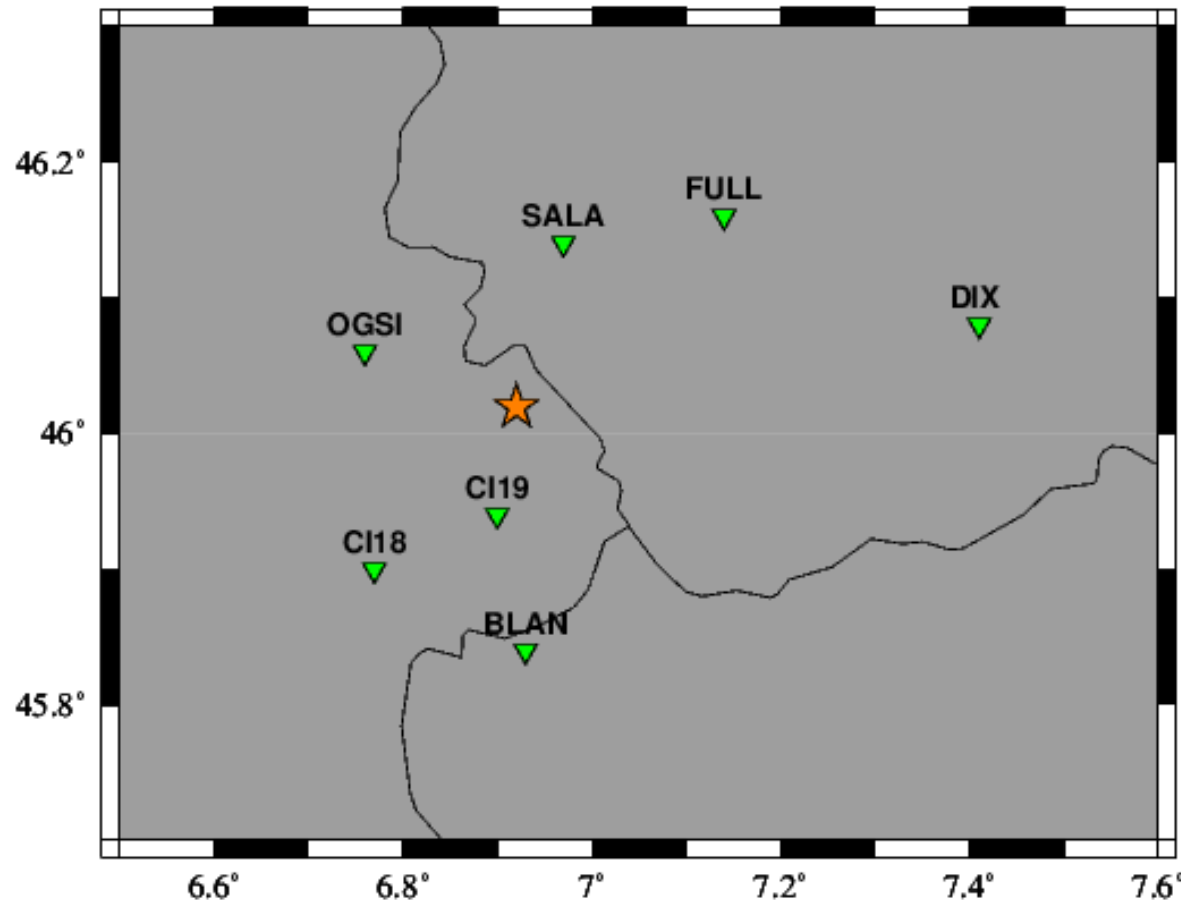
## **Vallorcine (proche Chamonix)**

Bertrand Delouis, Géoazur, 24 juin 2020



- Inversion de la localisation hypocentrale avec différents modèles de vitesse
- Mécanisme au foyer à partir des sens de premiers mouvements de l'onde P (polarités)
- Inversion des formes d'ondes FMNEAR avec filtrage ajusté manuellement et deux modèles de vitesse

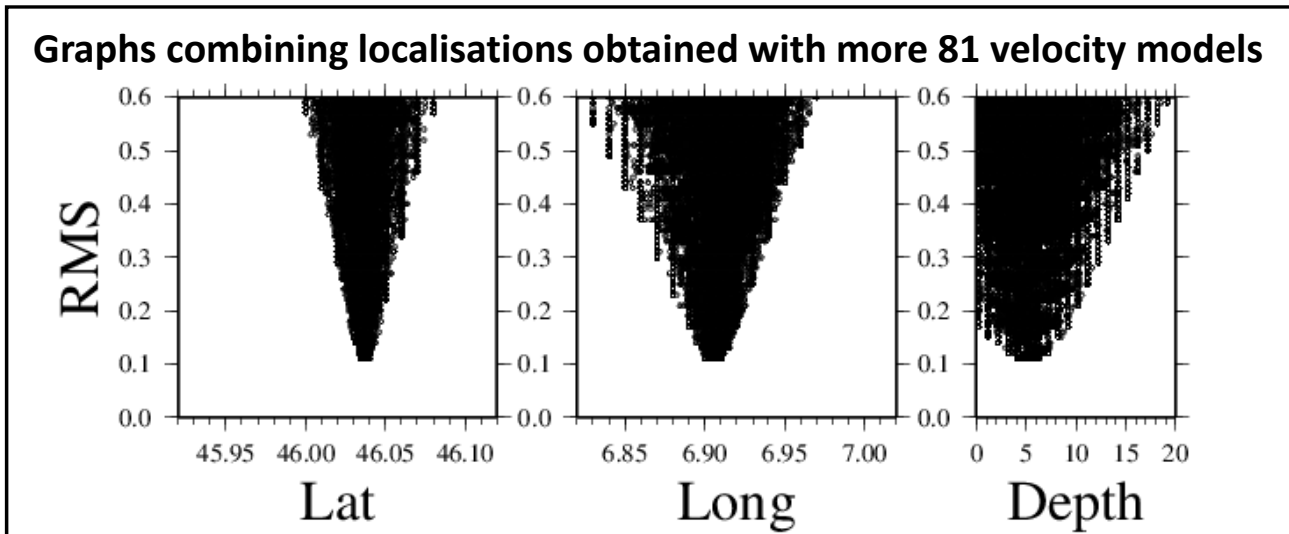
**Stations proches  
utilisées pour la  
localisation  
hypocentrale**



**Inversion of P and S arrival times for lat, long, depth, and T0 combining grid searches,  
simulated annealings, and HYPOINVERSE-2000 (Klein, 2002),  
Testing series of velocity models with varying velocity gradient  
Vp/Vs ratio ranging from 1.66 to 1.9**

Vp en surface testée entre 3.8 et 5.4 km/s  
Vp à la base de la croûte testée entre 6.6 et 7.0 km/s Moho depth: 45 km

Weighted phases  
retained:  
**7 P + 7 S**



### Best solution found:

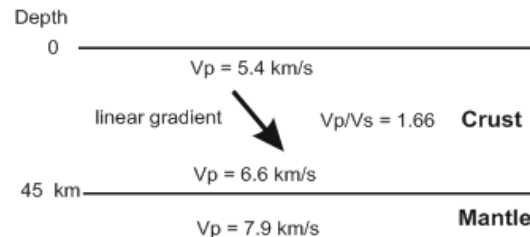
Lat: 46.036    Lon: 6.910    Depth: 5.4 km

$T_0$ : 06h25 : 41s     $RMS_{LOC}$ : 0.11s

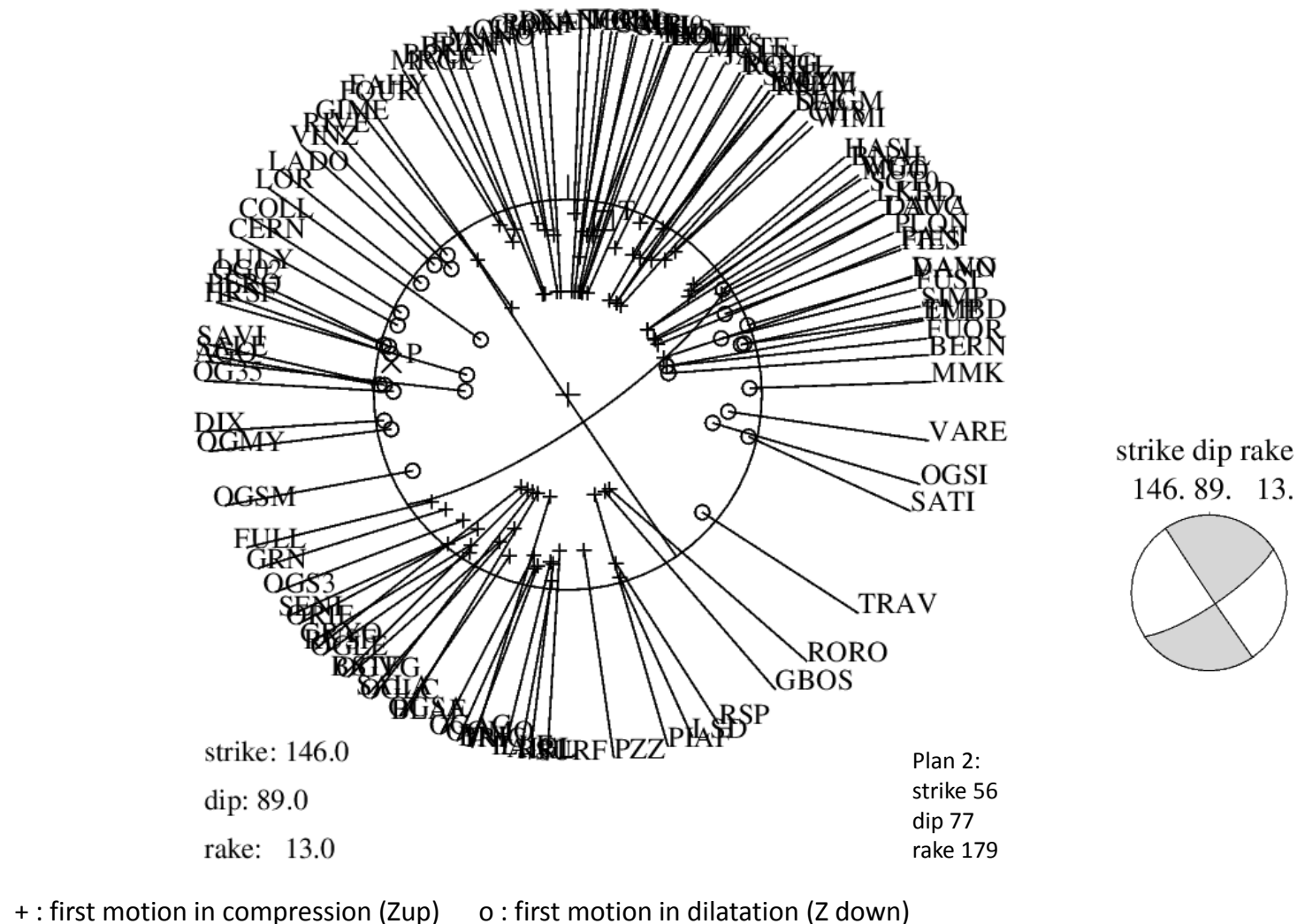
Vp\_top, Vp\_base

5.4 km/s 6.6 km/s

best Vp/Vs= 1.66

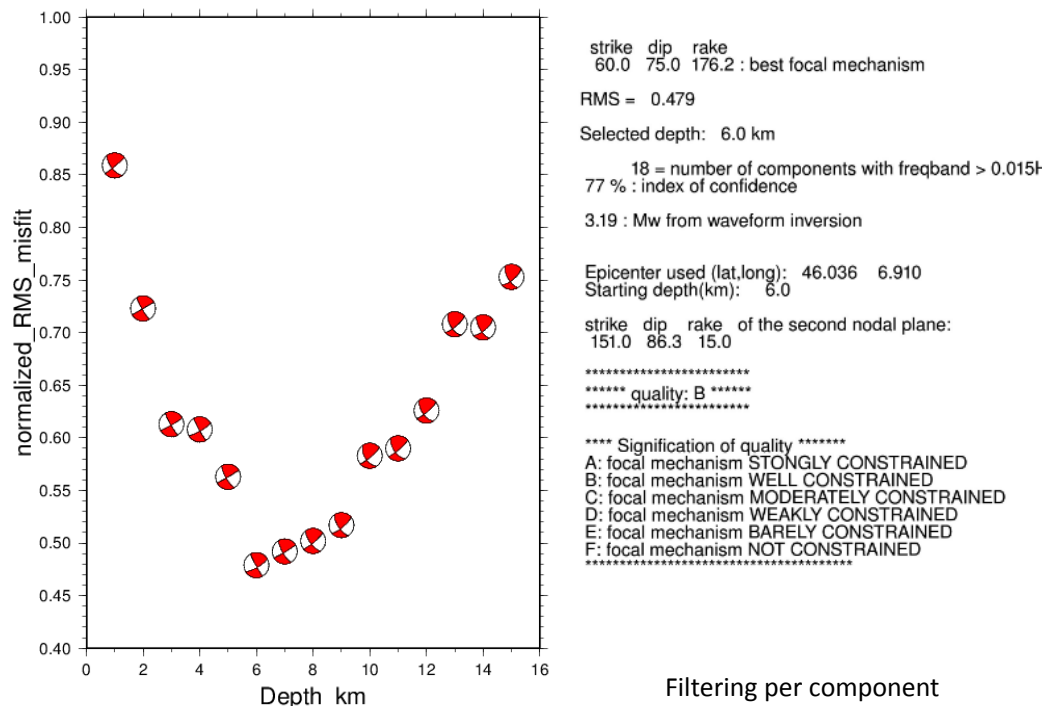
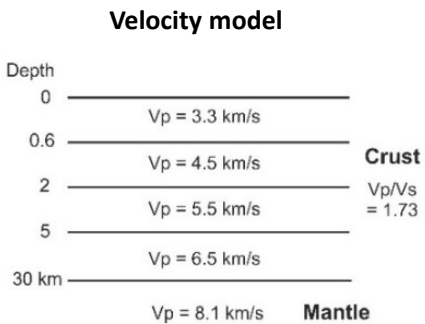
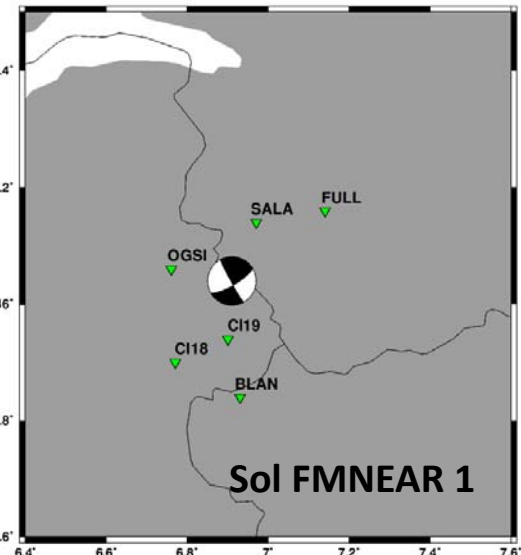


## Mécanisme au foyer par sens des premiers mouvements de l'onde P pour la meilleure localisation trouvée

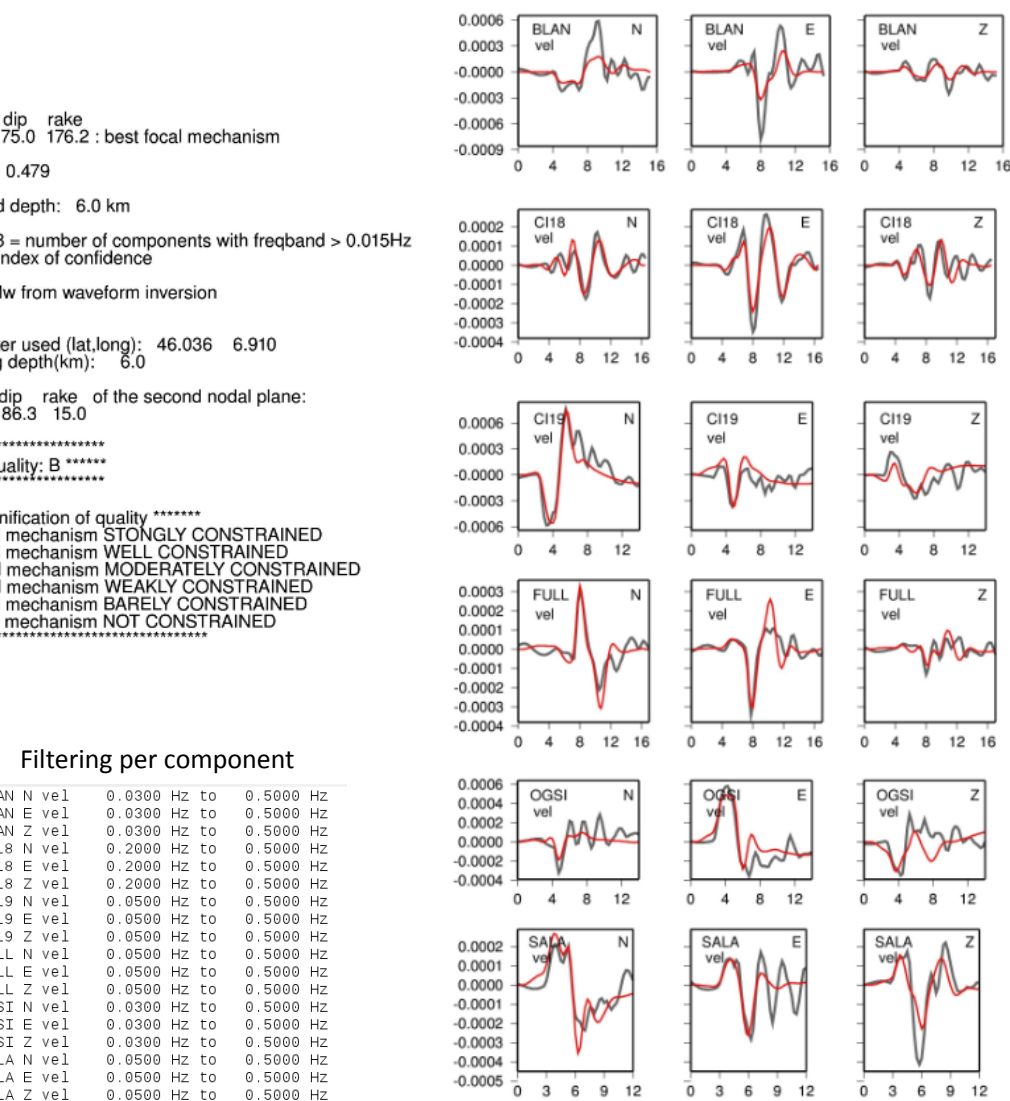


# Focal mechanism from waveform inversion (FMNEAR)

Standard velocity model  
from routine FMNEAR inversions



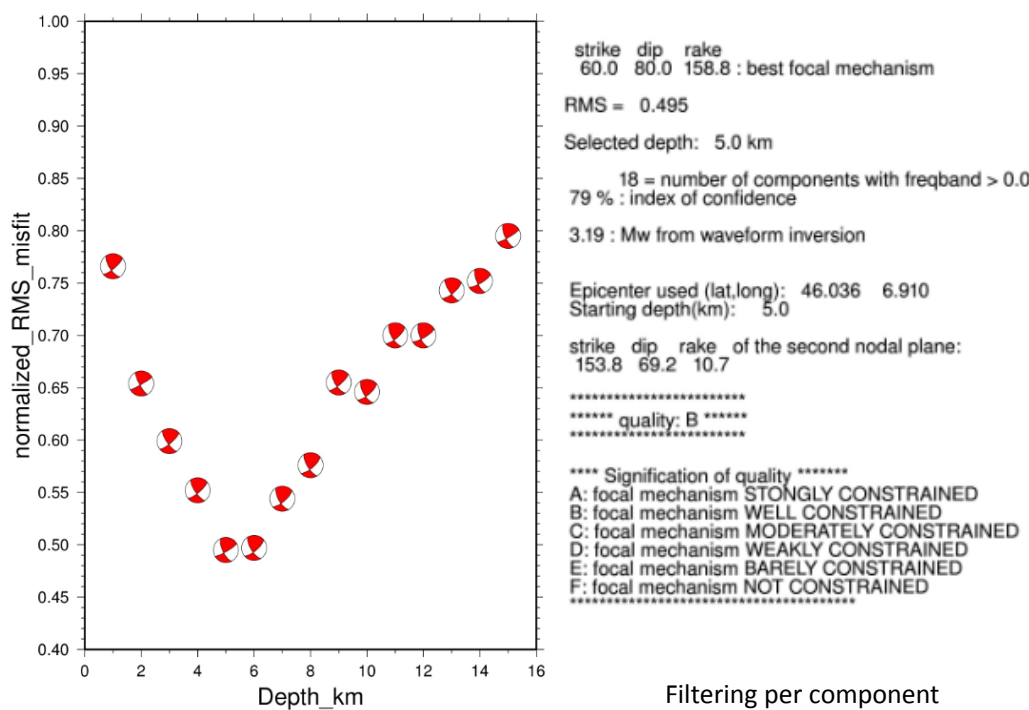
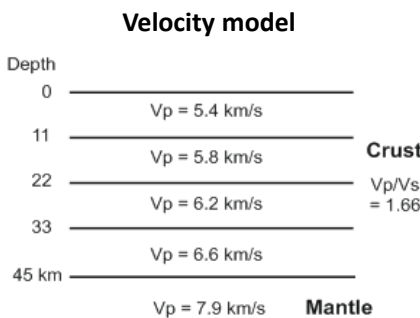
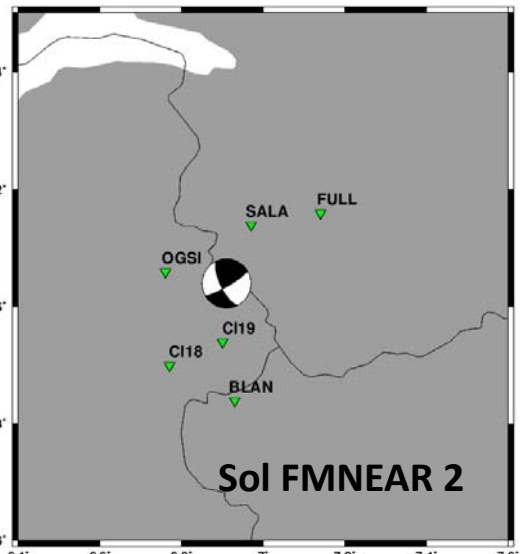
**Best solution  
(best waveform fit)**



X axis: time in seconds Y axis: displacement in cm  
Grey line: observed Red line: computed

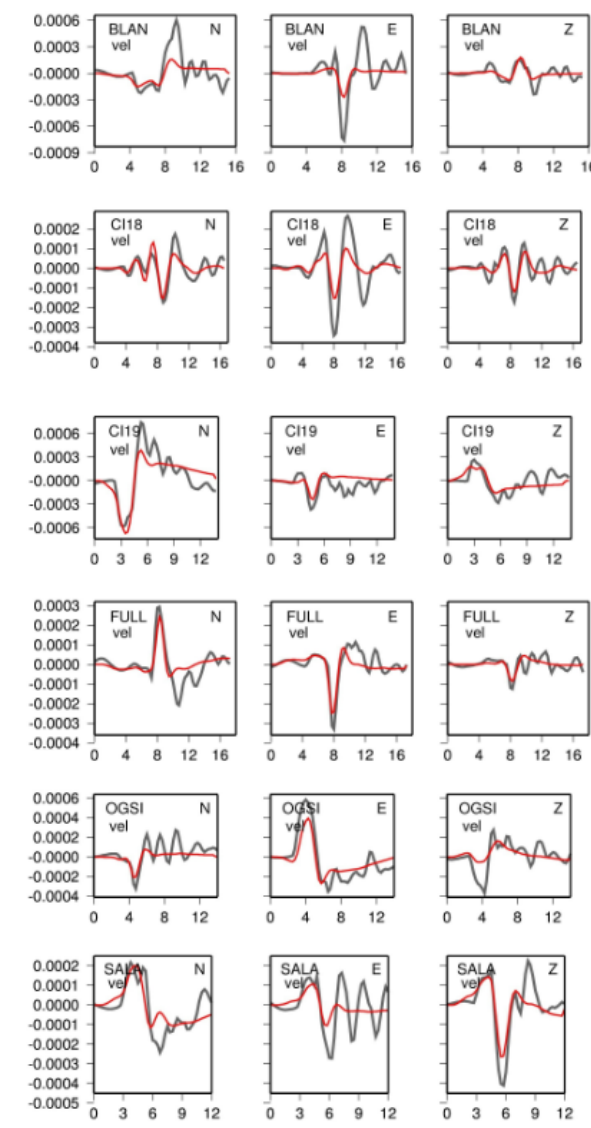
# Focal mechanism from waveform inversion (FMNEAR)

**Specific velocity model  
close to the gradient model found  
by the inversion of arrival times**



## Filtering per component

|            |              |           |
|------------|--------------|-----------|
| BLAN N vel | 0.0300 Hz to | 0.5000 Hz |
| BLAN E vel | 0.0300 Hz to | 0.5000 Hz |
| BLAN Z vel | 0.0300 Hz to | 0.5000 Hz |
| CI18 N vel | 0.2000 Hz to | 0.5000 Hz |
| CI18 E vel | 0.2000 Hz to | 0.5000 Hz |
| CI18 Z vel | 0.2000 Hz to | 0.5000 Hz |
| CI19 N vel | 0.0500 Hz to | 0.5000 Hz |
| CI19 E vel | 0.0500 Hz to | 0.5000 Hz |
| CI19 Z vel | 0.0500 Hz to | 0.5000 Hz |
| FULL N vel | 0.0500 Hz to | 0.5000 Hz |
| FULL E vel | 0.0500 Hz to | 0.5000 Hz |
| FULL Z vel | 0.0500 Hz to | 0.5000 Hz |
| OGSI N vel | 0.0300 Hz to | 0.5000 Hz |
| OGSI E vel | 0.0300 Hz to | 0.5000 Hz |
| OGSI Z vel | 0.0300 Hz to | 0.5000 Hz |
| SALA N vel | 0.0500 Hz to | 0.5000 Hz |
| SALA E vel | 0.0500 Hz to | 0.5000 Hz |
| SALA Z vel | 0.0500 Hz to | 0.5000 Hz |



X axis: time in seconds Y axis: displacement in cm  
Grey line: observed Red line: computed

# Conclusions

## Profondeur hypocentrale :

- 3 à 7 km par inversions des temps d'arrivées Tp et Ts
- 5 à 6 km par inversion de formes d'ondes (FMNEAR)

**Profondeur compatible entre les deux approches bien contrainte entre 5 et 6 km**

## Mécanisme au foyer:

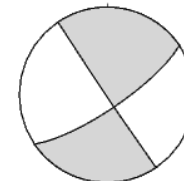
- Solution bien contrainte avec les polarités
- Solution stable par l'inversion des formes d'ondes, et très proche de la solution par polarités

**Au total, mécanisme au foyer bien constraint avec :**

- **un plan NE-SW subvertical décrochant dextre**
- **un plan NW-SE subvertical décrochant senestre**

**Solution retenue :**

strike dip rake  
146. 89. 13.



Plan 2:  
strike 56  
dip 77  
rake 179

**Magnitude de moment par inversion des formes d'ondes :**

**Mw = 3.2**